

КРАТКИЕ СООБЩЕНИЯ

УДК 541.49+546.42+546.719+548.736

ИССЛЕДОВАНИЕ ДИГИДРАТА ПЕРРЕНАТА ХЛОРОПЕНТАММИНА ПЛАТИНЫ(IV)

© 2007 К. В. Юсенко\*, И. А. Байдина, С. А. Громилов,  
С. В. Коренев

Институт неорганической химии им. А. В. Николаева СО РАН, Новосибирск

Статья поступила 6 мая 2006 г.

Определена кристаллическая структура соли  $[\text{Pt}(\text{NH}_3)_5\text{Cl}](\text{ReO}_4)_3 \cdot 2\text{H}_2\text{O}$ . Кристаллографические данные:  $a = 10,3476(2)$ ,  $b = 12,8955(2)$ ,  $c = 14,3536(3)$  Å,  $\beta = 105,241(10)^\circ$ ,  $V = 1847,94(6)$  Å<sup>3</sup>, пространственная группа  $P2_1/n$ ,  $Z = 4$ ,  $d_x = 3,962$  г/см<sup>3</sup>. Изучены процессы термолиза соединения в атмосферах гелия и водорода. В первом случае образуется двухфазный продукт, во втором — твердый раствор замещения  $\text{Re}_{0,75}\text{Pt}_{0,25}$  с параметрами элементарной ячейки:  $a = 2,767(2)$ ,  $c = 4,441(3)$  Å, пространственная группа  $P6_3/mmc$ .

**Ключевые слова:** платина, рений, твердые растворы, рентгеноструктурный анализ, рентгенофазовый анализ, термический анализ.

В последнее время активно проводятся исследования соединений, в состав которых входит два или более тугоплавких металла (см., например, [1—4]). Такие соединения рассматриваются как удобные предшественники для получения высокодисперсных порошков твердых растворов тугоплавких металлов в мягких температурных условиях. Часто такие металлические порошки по своему строению отличаются от равновесных [5]. Наибольшее количество исследований проведено с использованием соединений, в состав которых входят изозарядные частицы. Привлечение в качестве катионов и анионов неизозарядных частиц позволяет получать металлические порошки с различным соотношением металлов. Данное сообщение посвящено описанию строения и термических свойств соли состава  $[\text{Pt}(\text{NH}_3)_5\text{Cl}](\text{ReO}_4)_3 \cdot 2\text{H}_2\text{O}$ .

**Синтез, приборы и методики экспериментов.** Синтез  $[\text{Pt}(\text{NH}_3)_5\text{Cl}](\text{ReO}_4)_3 \cdot 2\text{H}_2\text{O}$  проводили следующим образом.  $[\text{Pt}(\text{NH}_3)_5\text{Cl}]Cl_3 \cdot H_2\text{O}$  (0,2 ммоль) и  $\text{NaReO}_4$  (0,7 ммоль) растворяли в 10 мл горячей воды, после чего растворы смешивали. Через несколько минут в растворе начинали образовываться бесцветные кристаллы в форме вытянутых пластинок с размерами до 0,5 мм. После прекращения образования кристаллов (в среднем 1 ч) вещество отфильтровывали, промывали минимальным количеством воды, ацетоном и сушили на воздухе. Выход 75—80 %. Результаты элементного анализа, проведенного путем нагревания точной навески соли в атмосфере водорода или гелия до температуры 600 °C: для  $\text{H}_{19}\text{N}_5\text{O}_{14}\text{ClPtRe}_3$  найдено / вычислено, %: Pt+Re 68,6±0,2/68,38. По данным рентгенофазового анализа (ДРОН-3М,  $\text{CuK}_\alpha$ -излучение) продукт однофазен.

Кристаллы для РСА отбирали из общей массы вещества. Все кристаллы показали высокое совершенство. Уточнение параметров элементарной ячейки (ПЭЯ) и измерение интенсивностей дифракционных отражений проведено с кристалла размерами  $0,19 \times 0,12 \times 0,07$  мм на дифрактометре Bruker X8 APEX (Мо $K_\alpha$ -излучение, графитовый монохроматор, CCD-детектор, область углов  $\theta$  2,58—35,93°, 19021 экспериментальное отражение, комнатная температура). Структура расшифрована стандартным методом тяжелого атома и уточнена в анизотропном приближении,

\* E-mail: yusenko@che.nsk.su

*Основные межатомные расстояния  $d$ , Å и валентные углы  $\omega$ , град. в кристаллической структуре соли  $[\text{Pt}(\text{NH}_3)_5\text{Cl}](\text{ReO}_4)_3 \cdot 2\text{H}_2\text{O}$*

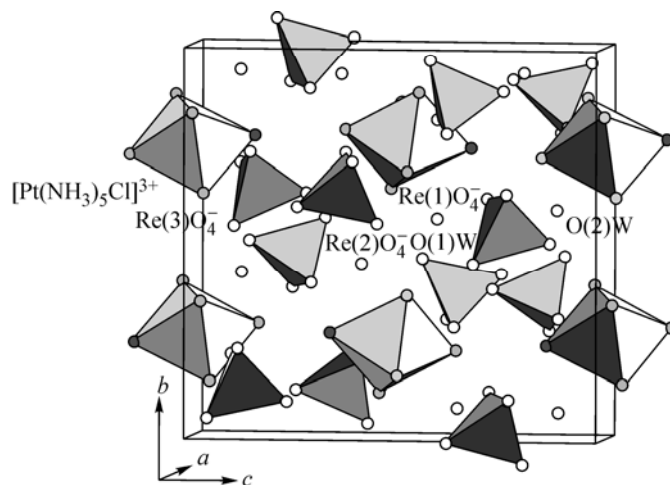
Расстояние	$d$	Угол	$\omega$	Угол	$\omega$
Pt(1)—N(5)	2,035(3)	N(5)—Pt(1)—N(2)	90,40(16)	O(7)—Re(2)—O(6)	110,4(2)
Pt(1)—N(2)	2,042(4)	N(5)—Pt(1)—N(3)	88,97(16)	O(8)—Re(2)—O(5)	109,8(3)
Pt(1)—N(3)	2,050(4)	N(2)—Pt(1)—N(3)	178,38(15)	O(7)—Re(2)—O(5)	110,3(2)
Pt(1)—N(4)	2,058(3)	N(5)—Pt(1)—N(4)	177,77(15)	O(6)—Re(2)—O(5)	109,0(2)
Pt(1)—N(1)	2,079(3)	N(2)—Pt(1)—N(4)	89,52(16)	O(3)—Re(1)—O(4)	110,6(2)
Pt(1)—Cl(1)	2,2918(12)	N(3)—Pt(1)—N(4)	91,05(15)	O(3)—Re(1)—O(2)	108,1(2)
Re(2)—O(8)	1,678(4)	N(5)—Pt(1)—N(1)	89,93(16)	O(4)—Re(1)—O(2)	110,1(2)
Re(2)—O(7)	1,716(4)	N(2)—Pt(1)—N(1)	90,52(16)	O(3)—Re(1)—O(1)	110,1(2)
Re(2)—O(6)	1,719(4)	N(3)—Pt(1)—N(1)	90,97(16)	O(4)—Re(1)—O(1)	110,1(2)
Re(2)—O(5)	1,721(4)	N(4)—Pt(1)—N(1)	92,30(16)	O(2)—Re(1)—O(1)	107,7(2)
Re(1)—O(3)	1,704(4)	N(5)—Pt(1)—Cl(1)	90,43(12)	O(10)—Re(3)—O(11)	107,7(3)
Re(1)—O(4)	1,720(4)	N(2)—Pt(1)—Cl(1)	89,07(12)	O(10)—Re(3)—O(12)	107,6(2)
Re(1)—O(2)	1,726(4)	N(3)—Pt(1)—Cl(1)	89,45(12)	O(11)—Re(3)—O(12)	109,6(3)
Re(1)—O(1)	1,728(4)	N(4)—Pt(1)—Cl(1)	87,34(12)	O(10)—Re(3)—O(9)	111,3(2)
Re(3)—O(10)	1,692(4)	N(1)—Pt(1)—Cl(1)	179,46(11)	O(11)—Re(3)—O(9)	110,8(2)
Re(3)—O(11)	1,699(5)	O(8)—Re(2)—O(7)	109,4(3)	O(12)—Re(3)—O(9)	109,8(2)
Re(3)—O(12)	1,700(4)	O(8)—Re(2)—O(6)	108,0(2)		
Re(3)—O(9)	1,704(4)				

все вычисления были выполнены по комплексу программ SHELX-97 [6]. Атомы водорода заданы геометрически. Окончательное уточнение кристаллической структуры проведено в полноматричном приближении по 8116 независимым отражениям,  $R = 0,0438$  (для 6406 отражений с  $I > 2\sigma(I)$   $R = 0,0291$ ). Кристаллографические данные:  $a = 10,3476(2)$ ,  $b = 12,8955(2)$ ,  $c = 14,3536(3)$  Å,  $\beta = 105,241(1)$ °,  $V = 1847,94(6)$  Å<sup>3</sup>, пространственная группа  $P2_1/n$ ,  $Z = 4$ ,  $d_x = 3,962$  г/см<sup>3</sup>,  $\mu = 27,3$  мм<sup>-1</sup>. Основные межатомные расстояния и валентные углы приведены в таблице.

Кривые потери массы (ТГ) получали на дериватографе Q-1000 в атмосфере гелия (скорость потока 150 мл/мин). Навеску вещества ~ 50 мг помещали в кварцевый тигель с крышкой, скорость нагрева 10 град./мин. Рентгенографическое исследование продукта термолиза было проведено на дифрактометре ДРОН-SEIFERT-RM4 ( $\text{CuK}_{\alpha}$ -излучение, Ni-фильтр) в области углов 2θ от 30 до 165° при комнатной температуре. Поликристаллы слегка истирали в агатовой ступке с гептаном, а затем полученную суспензию наносили на полированную сторону стандартной кварцевой кюветы. После высыхания образец представлял собой ровный тонкий слой.

**Описание кристаллической структуры.** Общий вид кристаллической структуры  $[\text{Pt}(\text{NH}_3)_5\text{Cl}](\text{ReO}_4)_3 \cdot 2\text{H}_2\text{O}$  показан на рис. 1. Структура состоит из комплексных катионов  $[\text{Pt}(\text{NH}_3)_5\text{Cl}]^{3+}$ ,

*Rис. 1.* Общий вид кристаллической структуры соли  $[\text{Pt}(\text{NH}_3)_5\text{Cl}](\text{ReO}_4)_3 \cdot 2\text{H}_2\text{O}$ . Катионы  $[\text{Pt}(\text{NH}_3)_5\text{Cl}]^{3+}$  показаны в виде октаэдров, анионы  $\text{ReO}_4^-$  — в виде тетраэдров, молекулы кристаллизационной воды — изолированные кружки



трех кристаллографически независимых анионов  $\text{ReO}_4^-$  и двух кристаллографически независимых молекул кристаллизационной воды. Комплексные ионы и молекулы кристаллизационной воды находятся в общих положениях. Средние расстояния:  $\text{Re}-\text{O}$   $1,71 \pm 0,03$  Å,  $\text{Pt}-\text{N}$   $2,05 \pm 0,02$  Å. Валентные углы отличаются от идеальных (тетраэдрических для аниона и октаэдрических для катиона) не более чем на  $2,6^\circ$ . Заметного изменения геометрии координационных частиц при образовании перрената хлоропентаммина платины по сравнению с другими известными солями, содержащими такие частицы, не происходит. Для сравнения, средние межатомные расстояния  $\text{Pt}-\text{N}$  равны 2,00 Å,  $\text{Pt}-\text{Cl}$  2,30 Å (для  $[\text{Pt}(\text{NH}_3)_5\text{Cl}]\text{Cl}_3\cdot\text{H}_2\text{O}$  [7]);  $\text{Re}-\text{O}$  в  $\text{NH}_4\text{ReO}_4$  1,737 Å [8],  $\text{NaReO}_4$  1,728 Å [9];  $\text{KReO}_4$  1,719 Å [10]. Структурные единицы связаны в кристалле разветвленной сетью водородных связей, в которых участвуют молекулы кристаллизационной воды. Минимальные оценки межмолекулярных взаимодействий:  $\text{O}(\text{W})\dots\text{Cl}$  3,35,  $\text{O}(\text{W})\dots\text{N}$  2,86,  $\text{O}(\text{W})\dots\text{O}$  2,75 Å. Минимальные межмолекулярные контакты между катионами и анионами:  $\text{Cl}\dots\text{O}$  3,18,  $\text{O}\dots\text{O}$  2,98 Å.

Основное внимание мы уделили описанию кристаллической упаковки координационных частиц, образующих структуру. Каждый катион  $[\text{Pt}(\text{NH}_3)_5\text{Cl}]^{3+}$  окружен 12 анионами  $\text{ReO}_4^-$ , а анионы, в свою очередь, окружены четырьмя катионами, образующими практически правильный тетраэдр. Упаковку частиц перпендикулярно направлению [101] можно представить следующим образом. Анионы  $\text{ReO}_4^-$  образуют сетку с гексагональным мотивом, каждые два таких слоя чередуются с гексагональным слоем, образованным ионами  $[\text{Pt}(\text{NH}_3)_5\text{Cl}]^{3+}$ . Молекулы кристаллизационной воды занимают тетраэдрические пустоты в анионном каркасе (рис. 2). Такая упаковка принципиально отличается от упаковки частиц в  $[\text{Pt}(\text{NH}_3)_5\text{Cl}]\text{Cl}_3\cdot\text{H}_2\text{O}$ , так как размер аниона  $\text{ReO}_4^-$  заметно больше размера иона  $\text{Cl}^-$ .

Для определения общего мотива взаимного расположения комплексных частиц, а также средних расстояний  $M\dots M$  в структуре  $[\text{Pt}(\text{NH}_3)_5\text{Cl}](\text{ReO}_4)_3\cdot 2\text{H}_2\text{O}$ , мы воспользовались методом катионных подрешеток [11]. Для этого были выбраны три наиболее интенсивные линии на порошковой рентгенограмме (с учетом факторов повторяемости, Лоренца и поляризации) ( $\bar{2}00$ ), ( $022$ ) и ( $0\bar{2}2$ ), детерминант матрицы, составленной из этих индексов, равен 16 — числу атомов металла в элементарной ячейке. Векторы подъячейки через векторы исходной ячейки выражаются следующим образом:  $\mathbf{a}_k = -1/2\mathbf{a}$ ,  $\mathbf{b}_k = -1/4\mathbf{b} - 1/2\mathbf{b}$ ,  $\mathbf{c}_k = 1/4\mathbf{b} - 1/4\mathbf{c}$ . Длины этих векторов и углы между ними равны:  $a_k = 5,17$ ,  $b_k = c_k = 4,82$  Å,  $\alpha_k = 83,87$ ,  $\beta_k = \gamma_k = 78,72^\circ$ . Видно, что тяжелые фрагменты, в данном случае координационные частицы  $[\text{Pt}(\text{NH}_3)_5\text{Cl}]^{3+}$  и  $\text{ReO}_4^-$ , занимают вершины изометричного ромбоэдра с параметрами  $a \approx 4,9(2)$  Å,  $\alpha \approx 80(2)^\circ$ . В структуре расстоя-

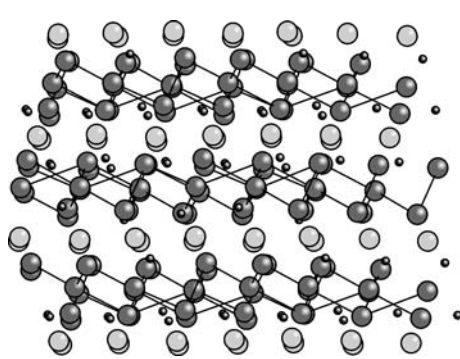


Рис. 2. Общий вид упаковки координационных частиц в направлении оси  $x$ .

Показаны только атомы Pt (светлые кружки), Re (темные кружки) и молекулы кристаллизационной воды (маленькие кружки)

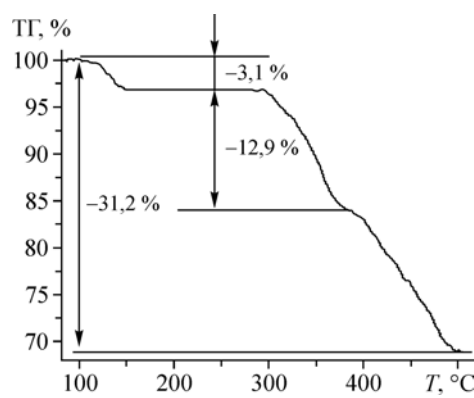


Рис. 3. Кривая потери массы  $[\text{Pt}(\text{NH}_3)_5\text{Cl}](\text{ReO}_4)_3\cdot 2\text{H}_2\text{O}$  в атмосфере гелия

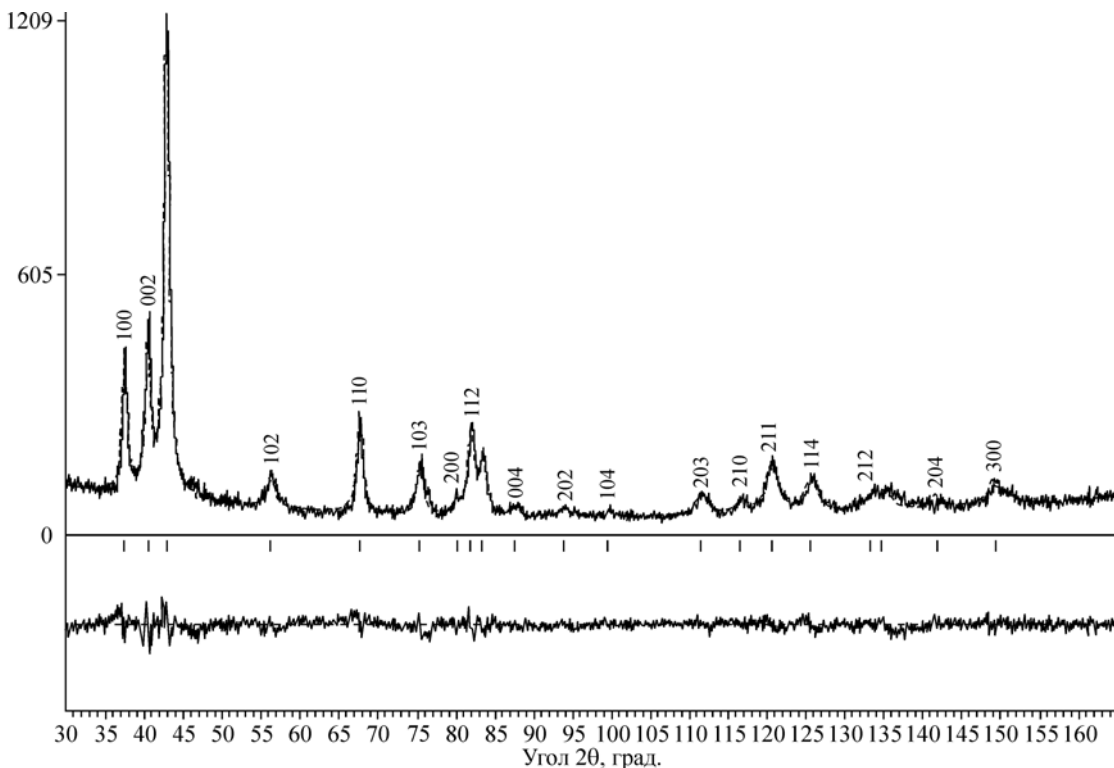


Рис. 4. Экспериментальная и теоретическая дифрактограммы продукта термолиза

$[\text{Pt}(\text{NH}_3)_5\text{Cl}](\text{ReO}_4)_3 \cdot 2\text{H}_2\text{O}$  в атмосфере водорода.

Продукт представляет собой твердый раствор замещения  $\text{Re}_{0,75}\text{Pt}_{0,25}$ . Внизу показана разностная кривая, по вертикальной оси отложена интенсивность ( $I$ , имп./2с)

ния  $\text{Re...Re}$  лежат в интервале 4,38—4,80,  $\text{Pt...Pt}$  7,68,  $\text{Pt...Re}$  5,32—5,64 Å. Можно сказать, что средние расстояния между атомами металлов соответствуют длинам сторон выделенного ромбоэдра.

**Термические превращения соли.** На рис. 3 приведена кривая ТГ соли  $[\text{Pt}(\text{NH}_3)_5\text{Cl}](\text{ReO}_4)_3 \cdot 2\text{H}_2\text{O}$  в атмосфере гелия. Разложение протекает в три стадии. Первая (110—140 °C) отвечает потере 3,1 % массы, что соответствует удалению двух молекул кристаллизационной воды (расчетная потеря 3,3 %). Дальнейшее разложение начинается при температуре 280 °C и заканчивается при 500 °C. Конечный продукт разложения представляет собой смесь двух металлических твердых растворов, один на основе платины, другой — рения (общая рассчитанная потеря массы составляет 31,6 %). Как отмечалось ранее [12], соли с катионом  $[\text{Pt}(\text{NH}_3)_5\text{Cl}]^{3+}$  имеют температуру разложения тем выше, чем менее сильна склонность аниона замещать молекулу аммиака во внутренней сфере платины. Например, температура начала разложения для хлорида и нитрата хлоропентамминаплатины(IV) равна 170 и 255 °C соответственно. Соль с перренатом в качестве аниона начинает разлагаться еще при более высокой температуре.

Конечным продуктом термолиза  $[\text{Pt}(\text{NH}_3)_5\text{Cl}](\text{ReO}_4)_3 \cdot 2\text{H}_2\text{O}$  в атмосфере водорода является металлический твердый раствор  $\text{Re}_{0,75}\text{Pt}_{0,25}$ , построенный на основе кристаллической структуры рения. Это согласуется с фазовой диаграммой системы платина—рений, согласно которой значения максимальной растворимости платины в рении и рения в платине примерно одинаковы и равны ~ 40 % [13]. Значения ПЭЯ  $\text{Re}_{0,75}\text{Pt}_{0,25}$  получены в результате полнопрофильного уточнения в области углов  $2\theta$  от 30 до 165° по программе Powder Cell V.2.4 [14]. Дифрактограмма показана на рис. 4. Для описания профилей дифракционных линий использована асимметричная функция псевдо-Войта ( $U = 0,453$ ,  $V = 0,500$ ,  $W = 0,289$ ,  $na = 0,903$ ,  $nb = 0,001$ ), окончательные значения:  $R_p = 5,63$ ,  $R_{wp} = 7,54$ ,  $R_{exp} = 5,06$  %. Кристаллографические характеристики

$\text{Re}_{0,75}\text{Pt}_{0,25}$ :  $a = 2,767(2)$ ,  $c = 4,441(3) \text{ \AA}$ ,  $Z = 2$ , пр. гр.  $P6_3/mmc$ ,  $V = 29,446 \text{ \AA}^3$ ,  $V/Z = 14,723 \text{ \AA}^3$ ,  $d_x = 21,250 \text{ г/см}^3$ . Размер областей когерентного рассеяния составляет  $\sim 180 \text{ \AA}$ . Полученные значения ПЭЯ хорошо коррелируют со значениями, приведенными в [15] для сплавов с близкими составами:  $\text{Re}_{0,7}\text{Pt}_{0,3}$  —  $a = 2,7691(7)$ ,  $c = 4,4433(12) \text{ \AA}$ ;  $\text{Re}_{0,8}\text{Pt}_{0,2}$  —  $a = 2,7650(7)$ ,  $c = 4,4488(12) \text{ \AA}$ .

Координаты и тепловые параметры атомов в кристаллической структуре  $[\text{Pt}(\text{NH}_3)_5\text{Cl}](\text{ReO}_4)_3 \cdot 2\text{H}_2\text{O}$  депонированы в Немецком депозитарии научной информации в Карлсруэ (Fachinformationszentrum Karlsruhe, D-76344 Eggenstein-Leopoldshafen, Germany; fax: (+49)7247-808-666; e-mail: crysdata@fiz-karlsruhe.de) под номером CSD416499.

Работа выполнена при поддержке Интеграционного проекта ОХМ 2006-2008.

#### СПИСОК ЛИТЕРАТУРЫ

1. Коренев С.В., Венедиктов А.Б., Шубин Ю.В. и др. // Журн. структур. химии. – 2003. – **44**, № 1. – С. 58 – 73.
2. Lubkowski J., Bujewski A., Szychlinski J. et al. // J. Therm. Anal. – 1992. – **38**. – P. 2221 – 2227.
3. Song H.M., Hong J.H., Lee Y.B. et al. // Chem. Commun. – 2006. – P. 1292 – 1294.
4. Choplin A., Huang L., Theolier A. et al. // J. Amer. Chem. Soc. – 1986. – **108**. – P. 4224 – 4225.
5. Беляев А.В., Коренев С.В., Лисойван В.И., Громилов С.А. // Пат. РФ 1410378.
6. Sheldrick G.M. SHELLX-97. Release 97-1. – University of Göttingen, 1997.
7. Юсенко К.В., Задесенец А.В., Байдина И.А. и др. // Журн. структур. химии. – 2006. – **47**, № 4. – С. 745 – 749.
8. Kruger C.J., Reinhardt E.L. // Acta Crystallogr. B. – 1978. – **34**. – P. 259 – 261.
9. Atzesdorfer A., Range K.-J. // Zeits. Naturforsch. – 1995. – **50**. – P. 1417 – 1418.
10. Krebs B., Hasse K. // Acta Crystallogr. B. – 1972. – **32**. – P. 1334 – 1337.
11. Борисов С.В. // Журн. структур. химии. – 1986. – **27**, № 3. – С. 164 – 166.
12. Шубочкин Л.К. / В сб. Химия платиновых и тяжелых металлов. – М.: Наука, 1975.
13. Савицкий Е.М., Тылкина М.А., Поварова К.Б. Сплавы рения. – М.: Наука, 1965.
14. Kraus W., Nolze G. // J. Appl. Crystallogr. – 1996. – **29**. – P. 301.
15. Rudman P.S. // J. Less-Common Metals. – 1967. – **12**. – P. 79 – 81.